

Exercício de programação 3 – Cálculo Numérico

Modelagem de um Sistema de Resfriamento de Chips

Gabriel Souza Lima - 11820106

Lucas Pereira da Fonseca - 118081826

1 Introdução

Neste exercício de programação, nós foi proposto modelar o comportamento da difusão térmica que ocorre em um processador ou chip de computador de tamanho $L \times 1$ e altura h ao usarmos um resfriador ("cooler" ou placa fix) colado na parte superior do bloco do chip.

É possível obter a distribuição de calor no interior do chip utilizando a equação do calor, obtida a partir da Lei de Fourier, e da propriedade de conservação da energia. Para o caso unidimensional, temos:

$$\rho C \frac{\partial T(x,t)}{\partial t} = \frac{\partial}{\partial x} \left(k(x) \frac{\partial T(x)}{\partial x} \right) + Q(t,x)$$

onde

- $T(x,y)$ é a temperatura do chip na posição x e no instante t .
- ρ é a densidade do material do chip.
- C é o calor específico do material.
- k representa a condutividade térmica do material.
- Q é a soma do calor gerado pelo chip com o calor retirado pelo resfriador

2 Estado Estacionário

Para simplificar, nós assumimos que o resfriador extraia a mesma quantidade de calor gerado pelo chip. Ou seja:

$$\frac{\partial T(t,x)}{\partial t} = 0$$

substituindo este resultado na equação anterior, obtemos

$$-\frac{\partial}{\partial x} \left(k(x) \frac{\partial T(x)}{\partial x} \right) = Q(x)$$

3 Método de Elementos Finitos

3.1 Escolha do Espaço \tilde{U}_n e sua base: elementos finitos

O espaço sobre o qual iremos realizar as operações acima é \tilde{U}_n , definido por Splines Lineares uniformemente espalhados em $[0, 1]$. O espaçamento entre dois nós consecutivos é constante e igual a $h = 1/(n+1)$, e os nós são definidos como $x_i = ih$ com $0 \leq i \leq n+1$. Cada spline é definido como uma função contínua em $[0, 1]$ que se liga dois nós consecutivos e que se anula nos extremos, ou seja:

$$S_{2n}^0([0, 1]) = \{s(x) \in C([0, 1]) : s(0) = s(1) = 0 \text{ e } s|_{[x_i, x_{i+1}]} \in P_1\}$$

Da definição acima, sabemos que cada spline ligará dois nós consecutivos com uma reta. Assim, tanto o nó x_n quanto o x_{n+1} estarão contidos em um spline, enquanto que os nós $x_1, i \in [0, n+1]$ estarão contidos em dois splines diferentes. Logo, o número de splines será dado por $2 \cdot (n+1) - 2 = n$. Percebemos, então, que $S_{2n}^0([0, 1])$ é um espaço vetorial de dimensão n . Podemos definir uma base para o espaço de splines dado por funções ϕ_i tais que $\phi_i = 0$ em $[x_{i-1}, x_i]$, $\phi_i = 1$ em $[x_i, x_{i+1}]$, $\phi_i = (x_{i+1} - x)/h$ se $x \in [x_n, x_{n+1}]$ e $\phi_i = 0$ se $x \notin [x_{i-1}, x_{i+1}]$. Facilmente podemos perceber que a interseção entre ϕ_i e ϕ_j será vazia e, somente se, $|i - j| > 1$. Ou seja, $\langle \phi_i, \phi_j \rangle_L = 0$ se $|i - j| > 1$. Decorre que a matriz do sistema linear seja tridiagonal.

3.2 Montagem do sistema e solução da matriz

Para montar o sistema, primeiro nós devemos calcular $\langle \phi_i, \phi_j \rangle_L$ para $|i - j| \leq 1$, $\langle \phi_i, \phi_j \rangle_L = \langle f, \phi_j \rangle_L$, onde $\langle u, v \rangle_L = \int_0^1 k(x)u'(x)v'(x) + q(x)u(x)v(x)dx$ e $u(x) = \int_0^1 u(x)v(x)dx$. Para isso, nós usaremos o código desenvolvido no Exercício Programa 2, para aproximar integrais através da fórmula de Gauss. Após montar os vetores das diagonais, nós usaremos as funções desenvolvidas no Exercício Programa 1 para resolver sistemas tridiagonais.

3.3 Solução do método de elementos finitos

Após concluir o passo 3.2, nós teremos obtido as constantes a_i tais que $\tilde{u}_n(x) = \sum_{i=1}^n a_i \phi_i(x)$ que melhor aproxima a solução $u(x)$ da equação do calor para o regime permanente.

3.4 Condições de fronteira não homogêneas

Para o caso em que $u(0) = a$ e $u(1) = b$, utiliza-se a estratégia de transformar o problema no caso homogêneo ao montar a equação:

$$L(v(x)) = f(x) + (b - a)k'(x) - q(x)(a + (b - a)x), \quad v(0) = v(1) = 0 \quad (2)$$

A solução da equação do calor com condições de contorno $u(0) = a$ e $u(1) = b$ vamos substituir $u(x) = v(x) + a + (b - a)x$.

Demonstração: Seja $u(x)$ a solução da equação (1) com $u(0) = a$ e $u(1) = b$. Vamos substituir $u(x)$ por $u(x) = v(x) + a + (b - a)x$, tal que $v(x)$ seja solução de (2). Ficamos com:

$$L(v(x)) = f(x) + a + (b - a)q(x) = \{-k'(x)[v(x) + a + (b - a)x]'\}' + q(x)[v(x) + a + (b - a)x]$$

Agora, vamos separar os termos:

$$L(v(x)) = [-k'(x)u(x)]' + q(x)v(x) + [-k'(x)(b - a)]' + q(x)[a + (b - a)x]$$

Ora, mas já sabemos que $[-k'(x)u(x)]' + q(x)u(x) = f(x)$. Segue, então, que

$$L(v(x)) = f(x) - k'(x)(b - a) + q(x)(a + (b - a)x) = \tilde{f}(x)$$

Como pode-se ver, chegamos à equação cuja solução nos dará $v(x)$.

Além disso, quando $k(x) = 0$ e $q(x) = 0$, ficamos com $L(u(x)) = f(x) = f(x)$ e $u(x) = v(x) + a + (b - a)x$.

3.5 Intervalo [0,L]

Para os casos em que o intervalo da equação diferencial for $[0, L]$, o espaçamento dos splines lineares será $h = L/(n+1)$ e $x_i = ih$ com $0 \leq i \leq n+1$. Além disso, a definição do Espaço de Splines será

$$S_{2n}^0([0, L]) = \{s(x) \in C([0, L]) : s(0) = s(L) = 0 \text{ e } s|_{[x_i, x_{i+1}]} \in P_1\}$$

Além disso, $\langle u, v \rangle_L = \int_0^L k(x)u'(x)v'(x) + q(x)u(x)v(x)dx$ e $\langle u, v \rangle = \int_0^L u(x)v(x)dx$.

Para o caso em que temos condições de fronteira não homogêneas, basta resolvermos o caso:

$$L(v(x)) = f(x) + (b - a)k'(x) - q(x)(a + (b - a)x) = \tilde{f}(x), \quad v(0) = v(1) = 0 \quad (4)$$

para o qual solução da equação do calor com condições de contorno $v(0) = a$ e $v(L) = b$ é $u(x) = v(x) + a + (b - a)x/L$. Como podemos conferir, ao usarmos a expressão de $u(x)$ nos extremos do intervalo, temos $u(0) = v(0) + a + (b - a)0/L = a$ e $u(L) = v(L) + a + (b - a)L/L = b$.

4 Tarefas

Nesta seção vamos começar a implementar os códigos para resolver as tarefas.

4.1 Código

Abaixo, vamos aplicar os conceitos desenvolvidos acima e avaliar os resultados.

Importando as bibliotecas

In [1]:

```
import numpy as np
import matplotlib.pyplot as plt
import math
import seaborn as sns
```

Configurações dos gráficos

In [2]:

```
sns.set_style('darkgrid') # darkgrid, white grid, dark, white and ticks
plt.rc('axes', titlesize=18) # fontsize of the axes title
plt.rc('axes', labelsize=15) # fontsize of the x and y labels
plt.rc('tick', labelsize=15) # fontsize of the tick labels
plt.rc('ytick', labelsize=15) # fontsize of the tick labels
plt.rc('legend', fontsize=15) # legend fontsize
plt.rc('font', size=15) # controls default text sizes
```

Funções

geraVetor()

A função **geraVetor()** irá criar os nós que serão utilizados para montar as funções "chapéus". Ela recebe como input o número de nós e o tamanho L do intervalo e retorna tanto o espaçamento quanto os nós (x_{vetor}).

In [3]:

```
def geraVetor(nos_chip, L):
    h = L/(nos_chip+1)
    x_vetor = np.array([i*h for i in range(nos_chip+2)])
    return h, x_vetor
```

geraTheta()

Criamos os nós e o espaçamento, agora podemos gerar as funções ϕ_i . Perceba que o valor a ser retornado depende do valor de entrada x , conforme definimos na seção 3.1.

Entradas :

- x : valor de x para o qual se deseja calcular a função
- i : índice da função ϕ_i
- h : espaçamento entre dois nós consecutivos
- x_{vetor} : array com os nós

Saídas :

- theta: i-valor da função $\phi_i(x)$ no ponto x

In [4]:

```
def geraPhi(x, i, h, x_vetor):
    if x_vetor[i-1]<=x and x<=x_vetor[i]: #verificando se x está no intervalo [xi-1,xi]
        phi_i = (x_vetor[i]-x)/h
    elif x_vetor[i]<=x and x<=x_vetor[i+1]: #verificando se x está no intervalo [xi,xi+1]
        phi_i = (x_vetor[i+1]-x)/h
    else: #se não estiver nos intervalos anteriores, a função é nula
        phi_i = 0
    return phi_i
```

montaVetores()

A função abaixo irá montar os vetores da matriz tridiagonal do sistema linear e o vetor do lado direito da equação.

phi_i_phi representa $\langle \phi_i, \phi_j \rangle = \int_0^L [k(x)\phi_i(x)\phi_j'(x) + q(x)\phi_i(x)\phi_j(x)]dx$. Como $|\phi_i(x)| = 1/(x_i - x_{i-1}) = 1/h$, a integral acima será dada por $\int_{x_{i-1}}^{x_i} [k(x)/h^2 + q(x)\phi_i(x)]^2 dx$

phi_i_phi representa $\langle \phi_i, \phi_j \rangle_L = \int_{x_{i-1}}^{x_i} [k(x)\phi_i(x)\phi_j'(x) + q(x)\phi_i(x)\phi_j(x)]dx$. Vamos assumir $j = i + 1$, pois o caso $i = j - 1$ será igual. Como $\phi_i(x) = 0$, $x \notin [x_{i-1}, x_i]$ e $\phi_j(x) = 0$, $x \notin [x_i, x_{i+1}]$, a integral se resume a $\int_{x_i}^{x_{i+1}} [-k(x)/h^2 + q(x)\phi_i(x)\phi_j(x)]dx$. Ou seja, Perceba que, neste intervalo, $\phi_j(x) = 1/(x_{i+1} - x_i) = -1/h$ e $\phi_i(x) = 1/(x_{i+1} - x_i) = 1/h$.

Finalmente, $\phi_i(x) = \int_{x_{i-1}}^{x_i} [-k(x)\phi_i(x)]dx$. Aqui, nós separamos a integral em dois intervalos e resolvemos cada integral separadamente, pois a função $\phi_i(x)$ terá expressões diferentes em cada intervalo. $\int_{x_{i-1}}^{x_i} f(x)\phi_i(x)dx = \int_{x_{i-1}}^{x_i} f(x)\phi_i(x)dx + \int_{x_i}^{x_{i+1}} f(x)\phi_i(x)dx$. Ou seja, $\phi_i(x) = \int_{x_{i-1}}^{x_i} f(x)\phi_i(x)dx = \int_{x_{i-1}}^{x_i} f(x)(x - x_{i-1})/h + \int_{x_i}^{x_{i+1}} f(x)(x - x_{i+1})/h$. A integral $\int_{x_{i-1}}^{x_i} f(x)(x - x_{i-1})/h$ foi chamada de $f_phi_i_0$ no código e a integral $\int_{x_i}^{x_{i+1}} f(x)(x - x_{i+1})/h$ foi chamada de $f_phi_i_1$.

No código abaixo iremos calcular essas integrais para cada phi . O único cuidado necessário foi com os índices, uma vez que a contagem de x começa em $i = 0$ e a contagem de ϕ_i começa em $i = 1$. Por isso, foi necessário somar ou subtrair 1 de alguns nós.

Por fim, os vetores a e c serão simétricos a descontar o primeiro e o último elementos. Isso acontece por que $\langle \phi_i, \phi_{i+1} \rangle = \langle \phi_{i+1}, \phi_i \rangle = \int_{x_i}^{x_{i+1}} [k(x)\phi_i(x)\phi_{i+1}'(x) + q(x)\phi_i(x)\phi_{i+1}(x)]dx$.

Entradas :

- nos_chip : quantidade de nós em que calcularemos a temperatura do chip
- nos_integral : quantidade de nós sobre em que aproximaremos a integral pelo método de Gauss
- k : condutividade térmica do material
- q : calor fornecido ou retirado do chip
- f : forçante do sistema, ou, lado direito da equação
- x_{vetor} : array com os nós
- h : espaçamento entre dois nós consecutivos

Saídas :

- a, b, c : vetores da matriz tridiagonal
- d : vetor do lado direito da equação

In [5]:

```
def montaVetores(nos_chip, nos_integral, k, q, f, h, x_vetor):
    a = np.zeros(nos_chip)
    b = np.zeros(nos_chip)
    c = np.zeros(nos_chip)
    d = np.zeros(nos_chip)

    #montando as funções que serão usadas nas integrais
    for i in range(nos_chip+1):
        #montando a função de phi_i, phi_i-1
        phi_i_phi_i = lambda x: k*(x)/(h**2) + q*(x)*geraPhi(x, i, h, x_vetor)**2
        #montando a função de phi_i, phi_i-1
        phi_i_phi_i_1 = lambda x: k*(x)/(h**2) + q*(x)*geraPhi(x, i, h, x_vetor)*geraPhi(x, i+1, h, x_vetor)

        #montando a função de f, phi_i
        f_phi_i_0 = lambda x: f(x)*(x-x_vetor[i-1])/h
        f_phi_i_1 = lambda x: f(x)*(x_vetor[i+1]-x)/h

        #criando vetores a,b,c
        #nós calculamos a para i=n, pois usamos o intervalo inferior x_vetor[i+1] e o superior x_vetor[i+2]
        if i==nos_chip:
            c[i-1] = calcula_integral(nos_integral, x_vetor[i], x_vetor[i+1], phi_i_phi_i)
            #a condição anterior não é usada para b e d, pois usamos o intervalo inferior x_vetor[i-1] e o superior x_vetor[i+1]
            b[i-1] = calcula_integral(nos_integral, x_vetor[i-1], x_vetor[i+1], phi_i_phi_i_1)
            d[i-1] = calcula_integral(nos_integral, x_vetor[i-1], x_vetor[i], f_phi_i_0) + calcula_integral(nos_integral, x_vetor[i], x_vetor[i+1], f_phi_i_1)

        #o vetor c é simétrico ao a, com exceção do primeiro termo, nulo em a, e do último termo, nulo em c
        #podemos otimizar o tempo calculando apenas o c e atribuindo-o ao a, com exceção dos extremos
        a[i] = c[i-1]
        return a,b,c,d
```

encontraAlpha()

A função abaixo irá resolver o sistema tridiagonal utilizando os vetores gerados na função **montaVetores()**.

Entradas :

- nos_chip : quantidade de nós em que calcularemos a temperatura do chip
- nos_integral : quantidade de nós sobre em que aproximaremos a integral pelo método de Gauss
- k : condutividade térmica do material
- q : calor fornecido ou retirado do chip
- f : forçante do sistema, ou, lado direito da equação
- x_{vetor} : array com os nós
- h : espaçamento entre dois nós consecutivos

Saídas :

- α : solução do sistema tridiagonal

In [6]:

```
def encontraAlpha(nos_chip, nos_integral, k, q, f, h, x_vetor):
    a, b, c, d = montaVetores(nos_chip, nos_integral, k, q, f, h, x_vetor) #gerando os vetores
    alpha = resolveTridiagonal(a,b,c,d) #resolvendo o sistema tridiagonal
    return alpha
```

calculaSolucao()

A função abaixo irá utilizar os valores de gerados na função **encontraAlpha()** para calcular $\tilde{u}_n(x) = \sum_{i=1}^n a_i \phi_i(x)$ que melhor aproxima a solução $u(x)$ da equação do calor. A função irá lidar com os casos em que $L \neq 1$, uma vez que os nós serão expressos pela fórmula $x = iL/(n+1)$, $i = 0, 1, \dots, n$ e para o caso com condições de fronteira não homogêneas ao utilizar a expressão $u(x) = v(x) + a + (b - a)x/L$, conforme explicado na seção 3.5.

Entradas :

- nos_chip : quantidade de nós em que calcularemos a temperatura do chip
- nos_integral : quantidade de nós sobre em que aproximaremos a integral pelo método de Gauss
- k : condutividade térmica do material
- q : calor fornecido ou retirado do chip
- f : forçante do sistema, ou, lado direito da equação
- a : condição de fronteira $u(0)$
- b : condição de fronteira $u(L)$
- L : comprimento do chip

Saídas :

- u : array com a temperatura encontrada para cada nó x_i

In [7]:

```
def calculaSolucao(nos_chip, nos_integral, k, q, f, a, b, L):
    #gerando o espaçamento e os nós
    h, x_vetor = geraVetor(nos_chip, L)
    #pontos em que serão calculados a temperatura
    x = np.arange(0, L, L/1000)
    #solução do sistema tridiagonal
    alpha = encontraAlpha(nos_chip, nos_integral, k, q, f, h, x_vetor)
    #lista com valores encontrados
    solucao = []
    for j in range(len(x)): #percorrer x_vetor
        xi = x[j]
        y = 0
        for i in range(1, nos_chip+1): #percorrer phi
            y = alpha[i-1]*geraPhi(xi, i, h, x_vetor)
        #caso as condições de fronteira não sejam homogêneas
        if a != 0 or b != 0:
            u = y + a + (b - a)*xi/L
        else:
            u = y
        #adiciona o valor encontrado na lista de solução
        solucao.append(u)
    return solucao
```

calculaErroMaximo()

Essa função será usada para avaliar o algoritmo nos exemplos da seção 4.2. Ela apenas utiliza os resultados encontrados pelo função **calculaSolucao()** e avalia a maior diferença entre as temperaturas encontradas e as temperaturas reais. No primeiro exemplo, a temperatura real é regida pela equação $u(x) = x^2(1 - x)^2$, $k(x) = 0$ e $f(x) = 12x^2 - 12x - 2$. O segundo exemplo refere-se ao complemento para a seção 4.2, e temos $u(x) = (x - 1)(e^x - 1)$, $k(x) = e^x + 1$ e $q(x) = e^x$. Como as condições foram pré-determinadas pelo enunciado, as únicas entradas serão referentes à quantidade de nós e ao exemplo.

Entradas :

- nos_chip : quantidade de nós em que calcularemos a temperatura do chip
- nos_integral : quantidade de nós sobre em que aproximaremos a integral pelo método de Gauss
- exemplo: 1 para o exemplo da seção 4.2 e 2 para o complemento da seção 4.2

Saídas :

- erro_max: maior erro absoluto entre as temperaturas encontradas e as temperaturas reais

In [8]:

```
def calculaErroMaximo(nos_chip, nos_integral, exemplo):
    #condições iniciais
    L = 1
    a = b = 0
    #gerando pontos para calcular a solução
    x = np.arange(0, L, L/1000)
    if exemplo == 1:
        k = lambda x: 1
        f = lambda x: 12*x*(1-x)-2
        #calculando os valores reais da temperatura
        u = x**2*(1-x)**2
    elif exemplo == 2:
        k = lambda x: (math.e)**x
        f = lambda x: 1 + (math.e)**(x)
        #calculando os valores reais da temperatura
        u = (x-1)*(math.e**x - 1)
    #temperaturas encontradas pelo método
    u_ = calculaSolucao(nos_chip, nos_integral, k, q, f, a, b, L)
    #calculando o erro máximo
    erro_max = np.max(np.abs(u_ - u))
    return erro_max
```

plotaErros()

Essa função será usada para visualizar os erros para os exemplos da seção 4.2, o inicial e o complementar. Seu único parâmetro é o número de pontos, pois as condições já foram determinadas no enunciado. Além disso, o algoritmo será calculado para diversos valores de n . Como podemos perceber, é criado um vetor com os valores para testar a solução chamado nos_chip . A função **calculaSolucao()** para splines lineares pode ser majorado por $E_n(x) \leq \max_{i=1,2} |f(x)|h^2$. Para a função $u(x) = x^2(1 - x)^2$, $u''(x) = 12x^2 - 12x - 2$ e, para o intervalo $[0, 1]$, $\max |u''(x)| = 2$. Por isso, iremos plotar a curva $h^2/2$ junto ao erro cometido no exemplo 1. Similarmente, para a função do erro junto com a curva $3/8h^2$.

Entradas :

- exemplo: 1 para o exemplo da seção 4.2 e 2 para o complemento da seção 4.2

Saídas :

- gráfico

In [9]:

```
def plotaErros(exemplo):
    nos_chip = np.arange(10, 100, 10)
    nos_integral = 6
    lista_erros = []
    lista_b = []
    for nos in nos_chip:
        h = geraVetor(nos, 1)
        erro_max = calculaErroMaximo(nos, nos_integral, exemplo)
        if exemplo==1:
            lista_b.append(1/4 * h**2)
        elif exemplo==2:
            lista_b.append(3/8 * h**2)
        lista_erros.append(erro_max)

    plt.figure(figsize=(10, 5.33), tight_layout=True)
    plt.plot(nos_chip, lista_erros, linewidth=2)
    plt.plot(nos_chip, lista_b, linewidth=2)
    plt.xlabel("$n$ (nos)")
    plt.ylabel("$\epsilon$")
    if exemplo==1:
        plt.legend(labels = ['$1/4 h^2$', 'erro'])
    elif exemplo==2:
        plt.legend(labels = ['$3/8 h^2$', 'erro'])
    plt.show()
```

plotaSolucaoExemplo()

Essa função será usada para visualizar a temperatura do chip em diferentes pontos para os exemplos da seção 4.2.

Entradas :

- nos_chip : quantidade de nós em que calcularemos a temperatura do chip
- nos_integral : quantidade de nós sobre em que aproximaremos a integral pelo método de Gauss
- exemplo: 1 para o exemplo da seção 4.2 e 2 para o complemento da seção 4.2

Saídas :

- gráfico

In [10]:

```
def plotaExemplo(nos_chip, nos_integral, exemplo):
    #condições iniciais
    L = 1
    a = b = 0
    #gerando pontos para calcular a solução
    x = np.arange(0, L, L/1000)
    if exemplo == 1:
        k = lambda x: 1
        f = lambda x: 12*x*(1-x)-2
        #calculando os valores reais da temperatura
        u = x**2*(1-x)**2
    elif exemplo == 2:
        k = lambda x: 1 + (math.e)**x
        f = lambda x: 1 + (math.e)**(x)
        #calculando os valores reais da temperatura
        u = (x-1)*(math.e**x - 1)
    #temperaturas encontradas pelo método
    u_ = calculaSolucao(nos_chip, nos_integral, k, q, f, a, b, L)
    #gerando o gráfico
    plt.figure(figsize=(10, 5.33), tight_layout=True)
    plt.plot(x, u, linewidth=2)
    plt.plot(x, u_, linewidth=2)
    plt.xlabel("$x$")
    plt.ylabel("$T$ (temperatura)")
    plt.title("$T$ (temperatura do chip com nos_chip nós no exemplo {exemplo})")
    plt.legend(labels = ['$T$ (temperatura do chip com nos_chip nós no exemplo {exemplo})', '$u(x)$'])
    plt.show()
```

plotaSolucao()

Essa função é similar à anterior, mas ela será usada quando não sabemos a solução exata.

Entradas :

- nos_chip : quantidade de nós em que calcularemos a temperatura do chip
- nos_integral : quantidade de nós sobre em que aproximaremos a integral pelo método de Gauss
- k : condutividade térmica do material
- q : calor fornecido ou retirado do chip
- f : forçante do sistema, ou, lado direito da equação
- a : condição de fronteira $u(0)$
- b : condição de fronteira $u(L)$
- L : comprimento do chip

Saídas :

- gráfico

In [11]:

```
def plotaSolucao(nos_chip, nos_integral, k, q, f, a, b, L):
    #gerando pontos para calcular a solução
    x = np.arange(0, L, L/1000)
    #solução aproximada pelo método
    u_ = calculaSolucao(nos_chip, nos_integral, k, q, f, a, b, L)
    #gerando o gráfico
    plt.figure(figsize=(9, 5), tight_layout=True)
    plt.plot(x, u, linewidth=2)
    plt.xlabel("$x$")
    plt.ylabel("$T$ (temperatura)")
    plt.title("$T$ (temperatura do chip com nos_chip nós)")
    plt.legend(labels = ['$T$ (temperatura do chip com nos_chip nós)', '$u(x)$'])
    plt.show()
```

Funções dos Exercícios Programas antigos

In [12]:

```
def cria_nos_pesos(n):
    """Cria os nós e os pesos que serão utilizados para calcular as integrais
    Args:
        n: quantidade de pontos
    Returns:
        w: pesos"""
    w = np.zeros(n)
    if n == 6:
        x = np.array([0.2386191860831969086305017, -0.661209384662645136613996, -0.9324695142031520278123016,
                    0.1834346424956498049394761, 0.5255324099163289958177390, 0.796664774136267395915539,
                    0.36268378378319629610473898793, 0.360761573048138607569835, 0.171354482379173450402961,
                    0.46791394572691473898703, 0.360761573048138607569835, 0.171324492379173450402961])
    elif n == 8:
        x = np.array([0.1834346424956498049394761, -0.5255324099163289958177390, -0.796664774136267395915539,
                    0.1834346424956498049394761, 0.
```


Erro vs nós

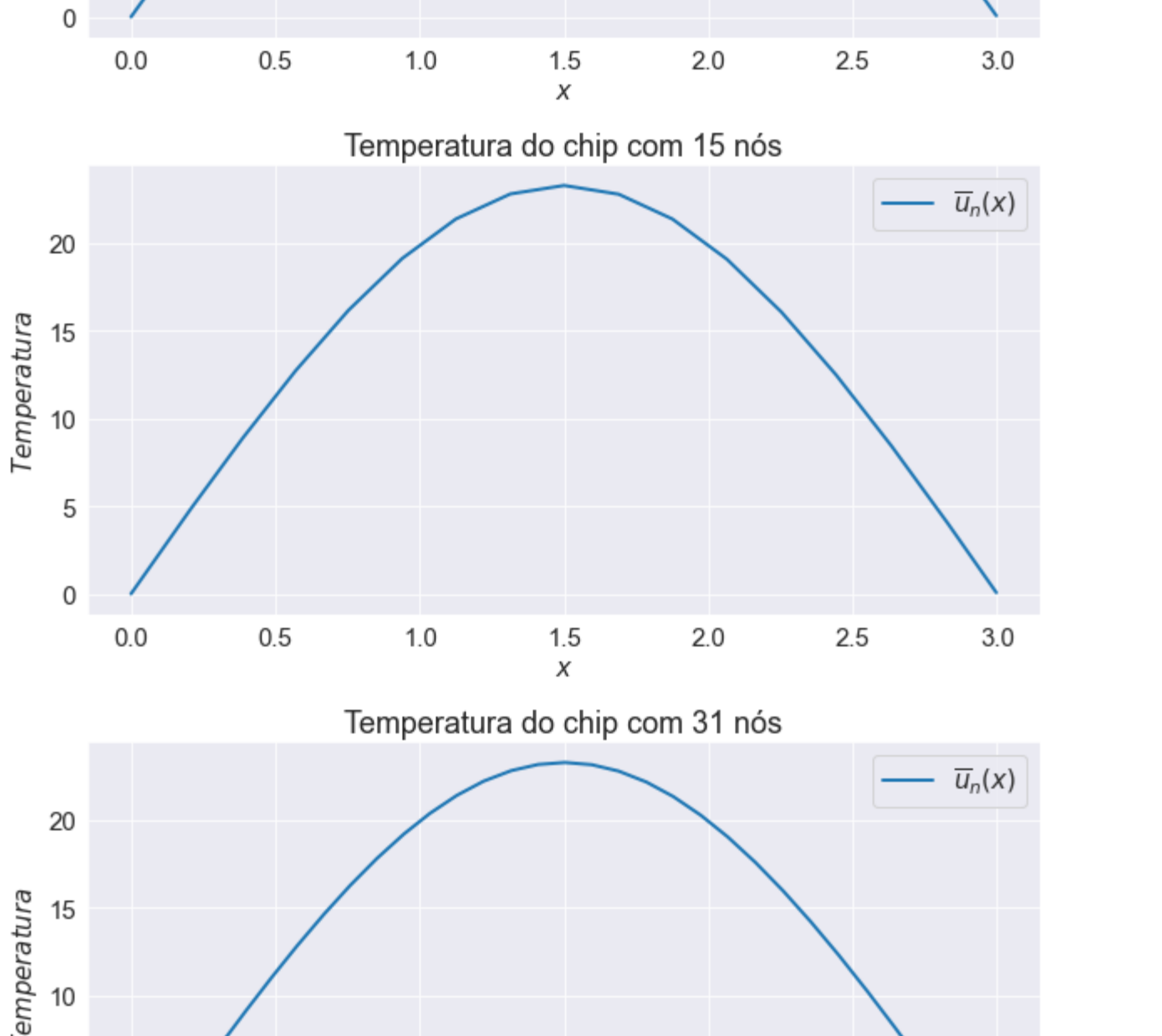
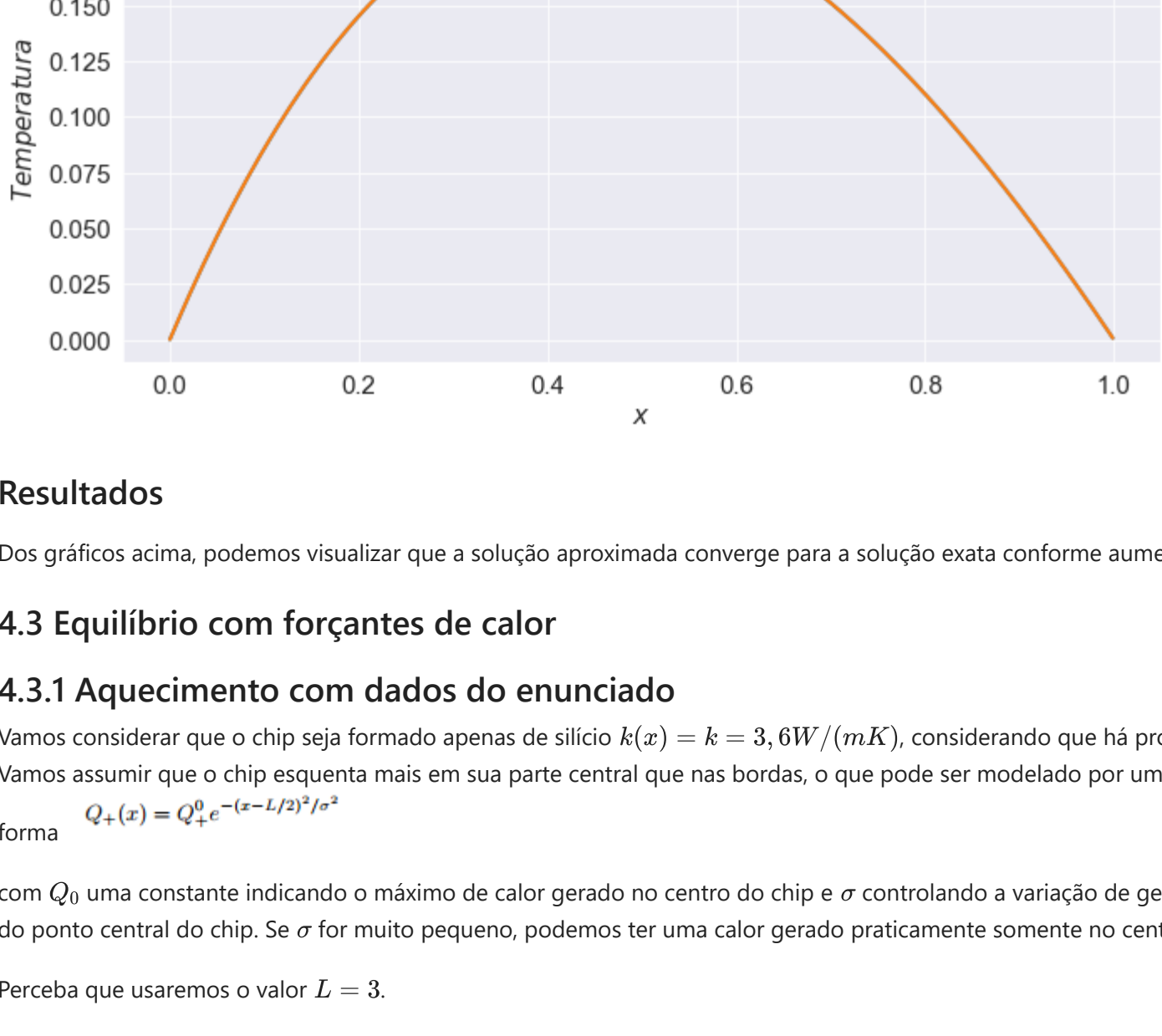
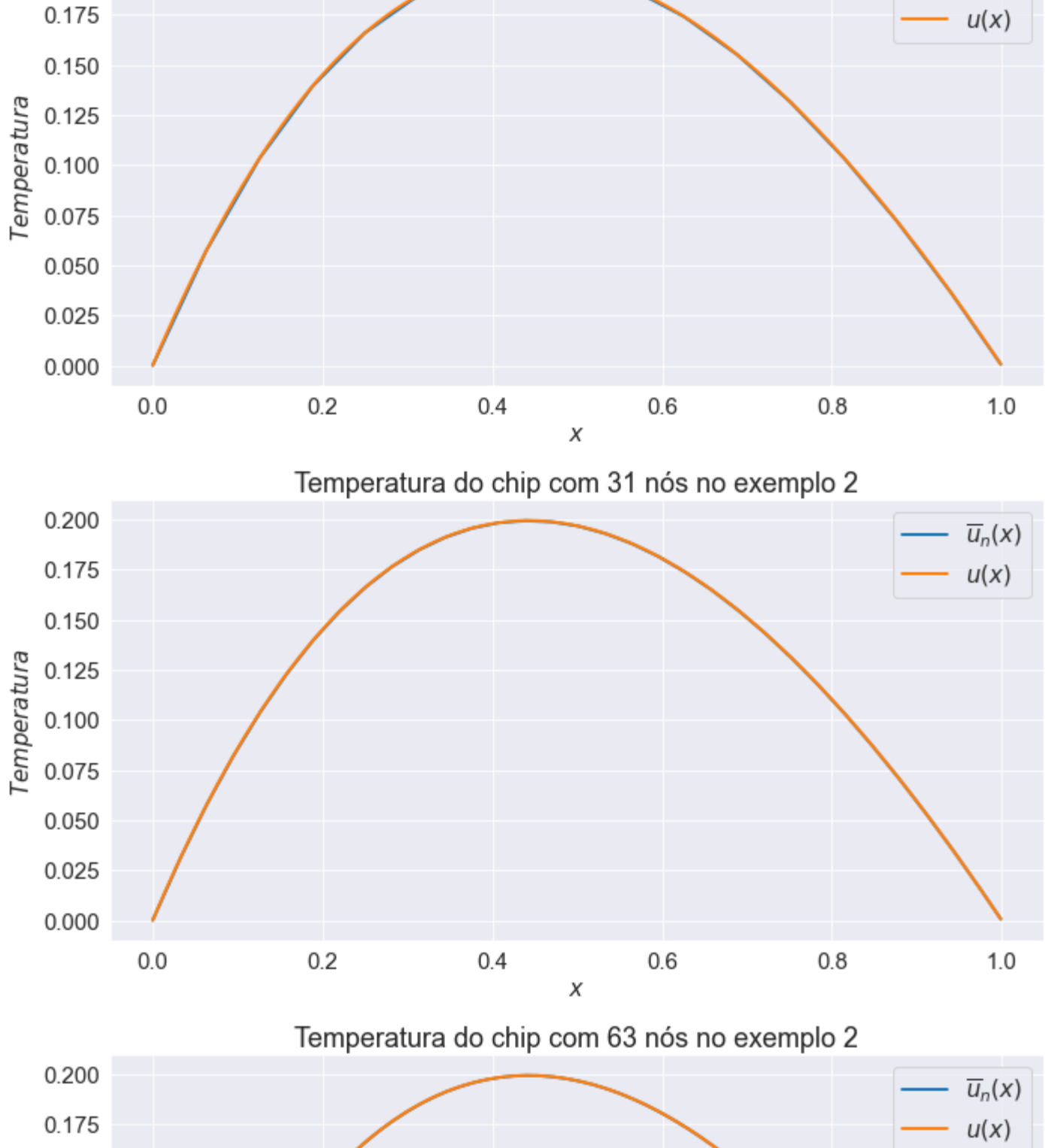


Resultados

Como podemos ver no gráfico acima, o erro cometido praticamente sobrepõe a curva $3/8h^2$. Assim como no exemplo anterior, era esperado que o resultado não fosse perfeito pelos erros de aproximação cometidos na integral pelo método de Gauss, que é propagado na resolução do sistema tridiagonal, além do número de nós escolhidos para o método de elementos finitos.

Além disso, podemos visualizar qual a temperatura encontrada para o chip nos diferentes pontos considerados.

```
In [20]:
plotaExemplo(7,10,exemplo=2)
plotaExemplo(15,10,exemplo=2)
plotaExemplo(31,10,exemplo=2)
plotaExemplo(63,10,exemplo=2)
```



Resultados

Dos gráficos acima, podemos visualizar que a solução aproximada converge para a solução exata conforme aumentamos o número de nós.

4.3 Equilíbrio com forçantes de calor

4.3.1 Aquecimento com dados do enunciado

Vamos considerar que o chip seja formado apenas de silício $k(x) = k = 3,6W/(m.K)$, considerando que há produção de calor pelo chip. Vamos assumir que o chip esquenta mais em sua parte central que nas bordas, o que pode ser modelado por uma Gaussiana da seguinte forma

$$Q_v(x) = Q_0 e^{-\frac{(x-L/2)^2}{\sigma^2}}$$

com Q_0 uma constante indicando o máximo de calor gerado no centro do chip e σ controlando a variação de geração de calor em torno do ponto central do chip. Se σ for muito pequeno, podemos ter um calor gerado praticamente somente no centro do chip.

Perceba que usaremos o valor $L = 3$.

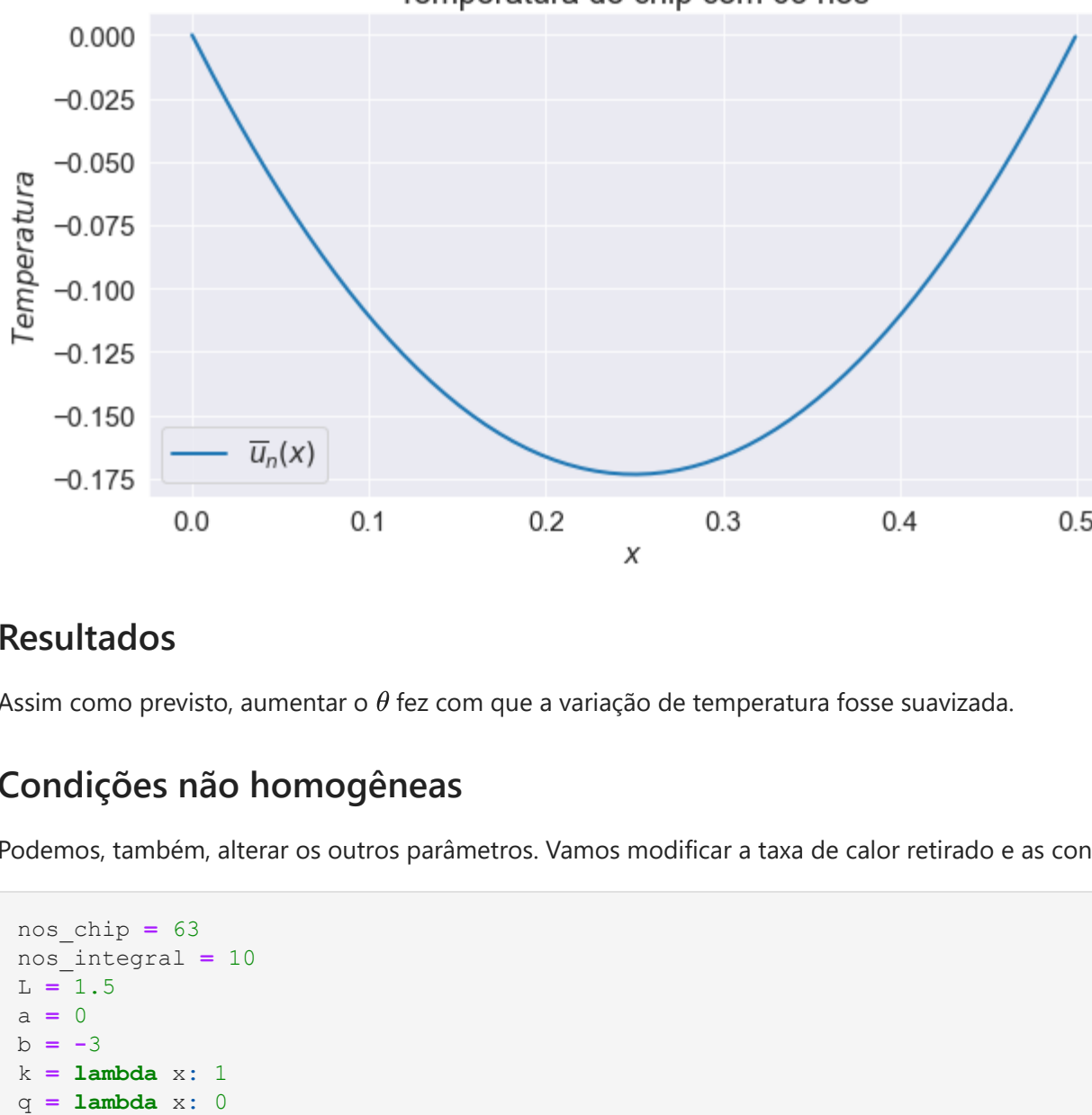
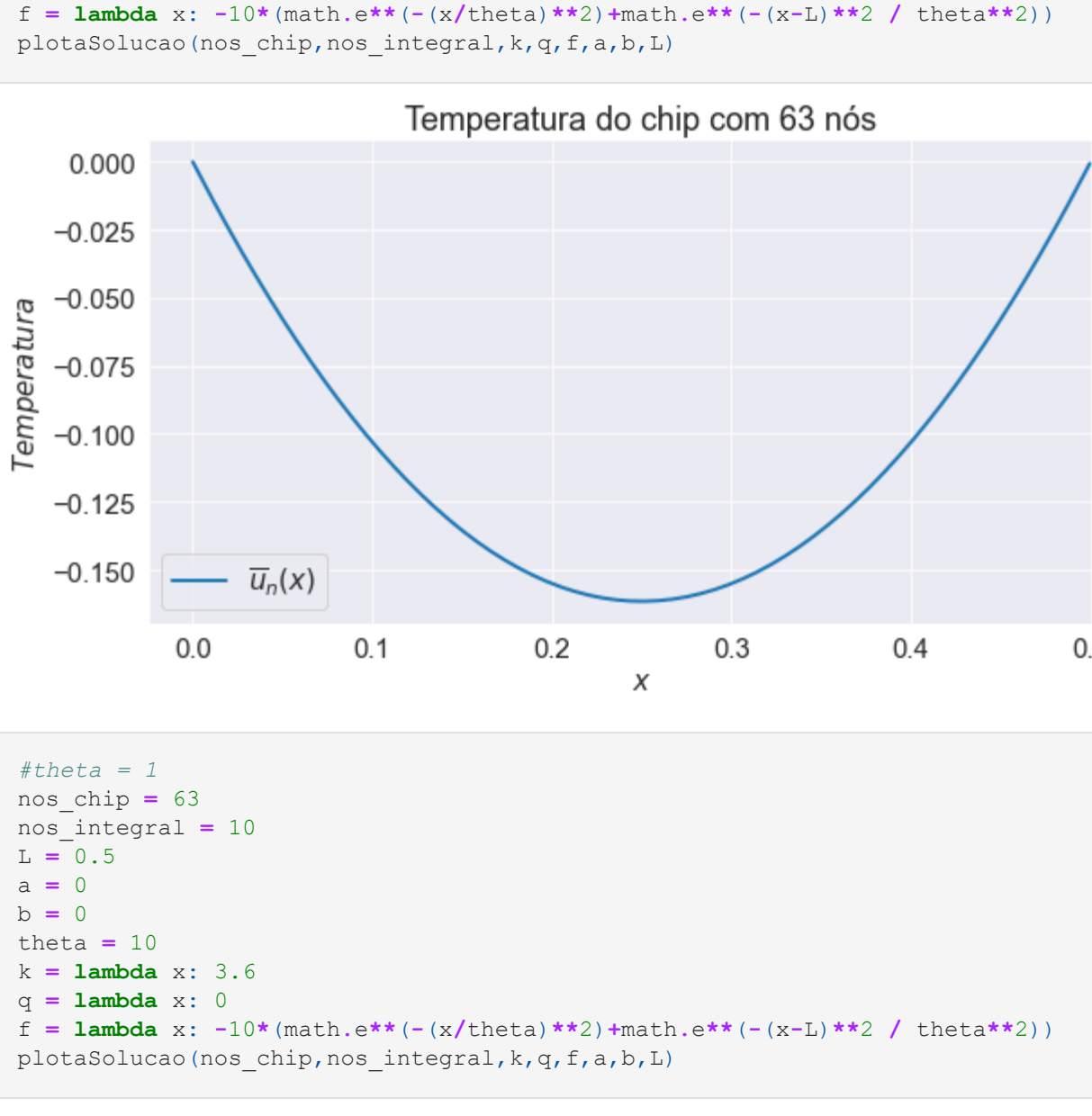
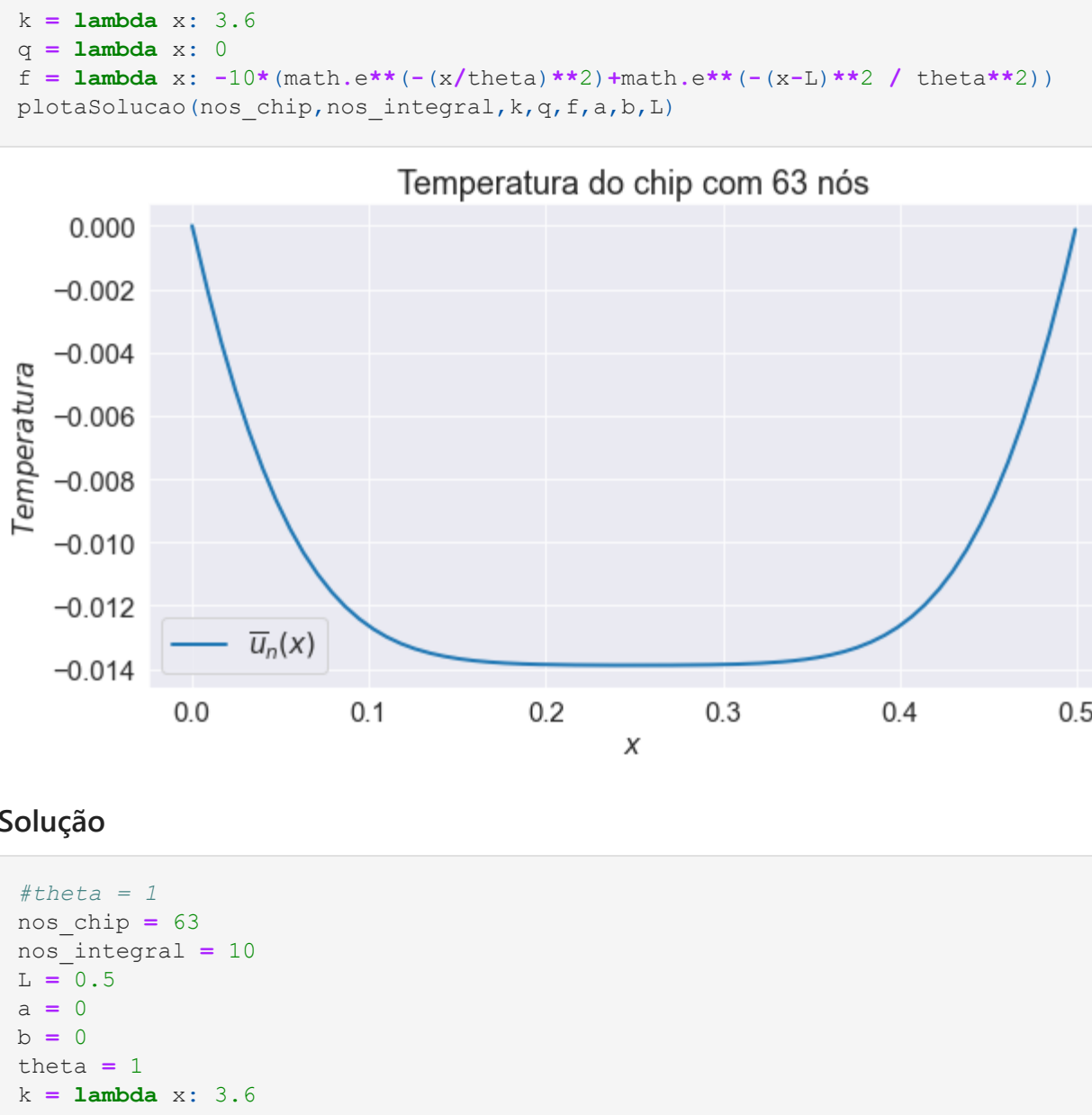
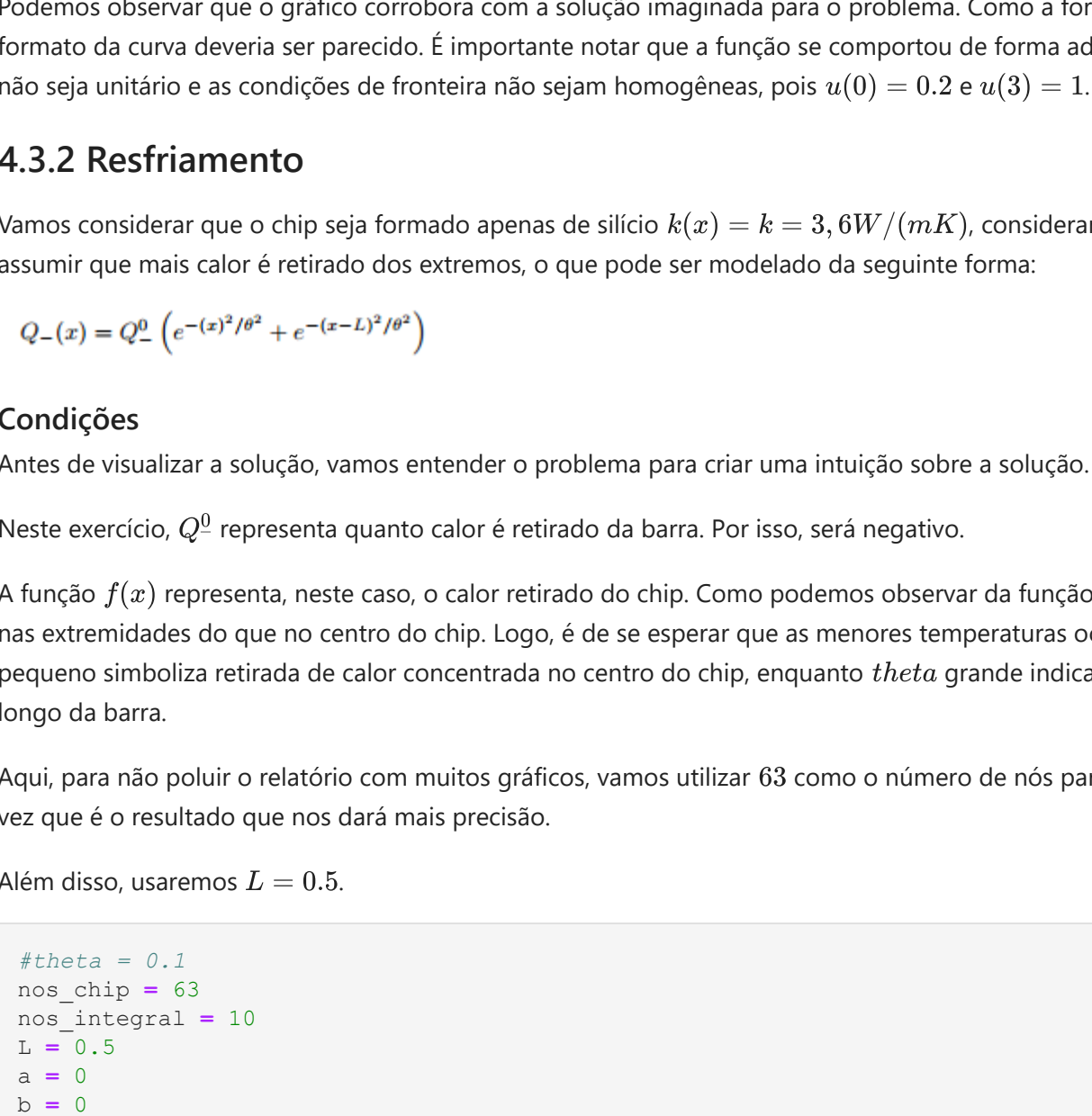
Condições

Vamos plotar os resultados para os seguintes valores de nós: 7, 15, 31, 63.

```
In [21]:
#lista com valores de nós que usaremos
nos_chip = [7,15,31,63]
nos_integral = 10
L = 3
a = 0
b = 0
sigma = 1
k = lambda x: 3.6
q = lambda x: 0
f = lambda x: 100*math.exp(-(x-L/2)**2)/sigma**2

plotaSolucao(nos_chip,nos_integral,k,q,f,a,b,L)
```

```
In [22]:
#plotando os resultados
for nos in nos_chip:
    plotaSolucao(nos,nos_integral,k,q,f,a,b,L)
```



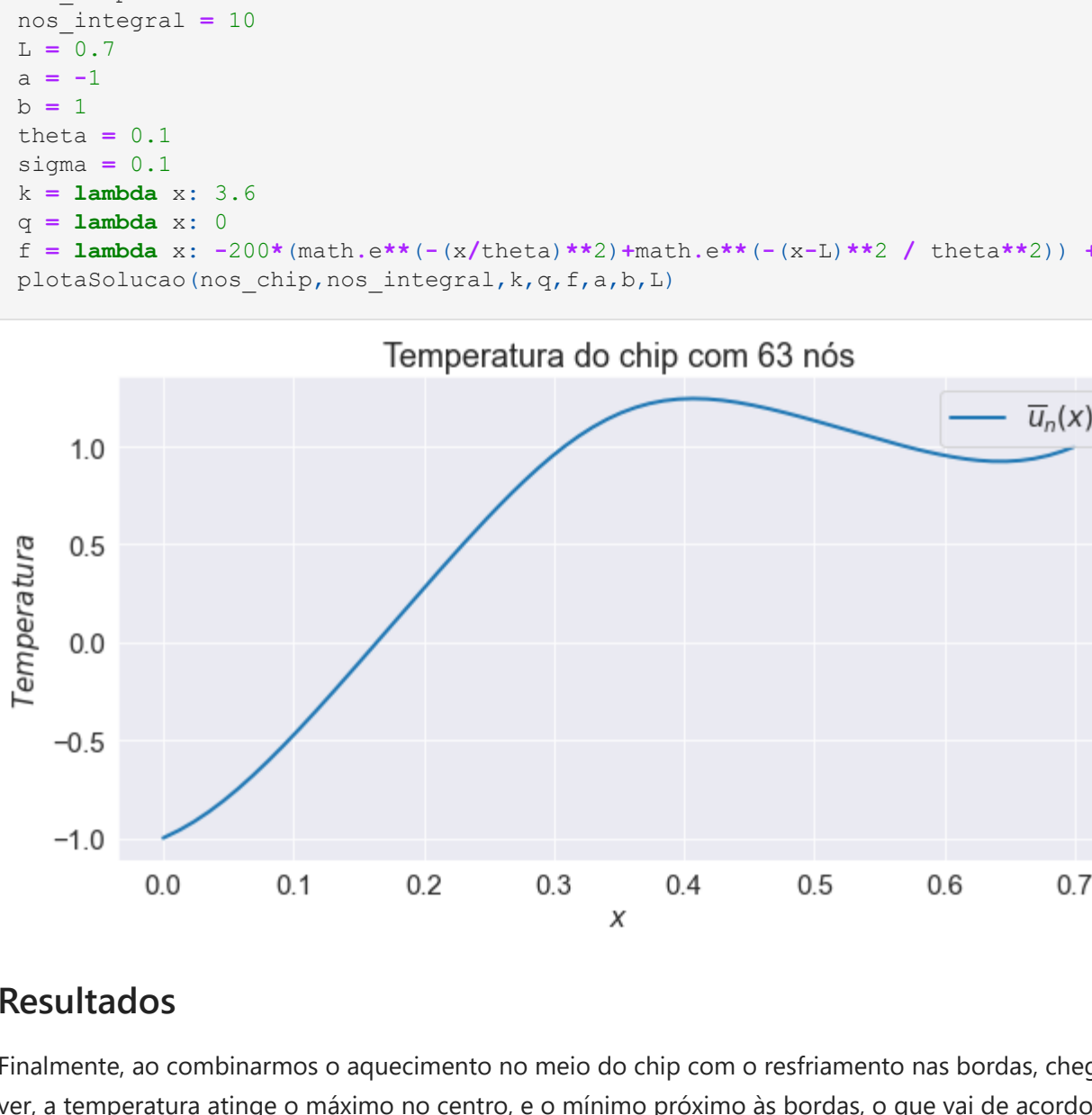
Resultados

Dos gráficos acima, podemos ver que a curva da temperatura fica mais suavizada com o aumento dos nós, conforme esperávamos já que a solução encontrada deve se aproximar da solução exata. Além disso, é possível ver que há uma região de aquecimento no meio do chip, já que é onde houve as maiores temperaturas. Ademais, a temperatura decai conforme se aproxima das bordas, uma vez que o aquecimento diminui, até chegar em zero nas extremidades, uma vez que essa era nossa condição de contorno.

Condições não homogêneas

Agora, vamos simular o problema para os seguintes parâmetros: $a = 0.2$, $b = 1$, $L = 3$.

```
In [23]:
#lista com valores de nós que usaremos
nos_chip = 63
nos_integral = 10
L = 3
a = 0.2
b = 1
sigma = 1
k = lambda x: 3.6
q = lambda x: 0
f = lambda x: 10*math.exp(-(x-L/2)**2)/sigma**2
plotaSolucao(nos_chip,nos_integral,k,q,f,a,b,L)
```



Resultados

Podemos observar que o gráfico corrobora com a solução imaginada para o problema. Como a forçante é igual ao item anterior, o formato da curva deveria ser parecido. É importante notar que a função se comportou de forma adequada mesmo que o tamanho do chip não seja unitário e as condições de fronteira não sejam homogêneas, pois $u(0) = 0.2$ e $u(3) = 1$.

4.3.2 Resfriamento

Vamos considerar que o chip seja formado apenas de silício $k(x) = k = 3,6W/(m.K)$, considerando que há retirada de calor. Vamos assumir que mais calor é retirado dos extremos, o que pode ser modelado da seguinte forma:

$$Q_v(x) = Q_0^2 \left(e^{-x^2} t^{t^2} + e^{-(x-L)^2} t^{t^2} \right)$$

Condições

Antes de visualizar a solução, vamos entender o problema para criar uma intuição sobre a solução.

Neste exercício, Q^2 representa quanto calor é retirado da barra. Por isso, será negativo.

A função $f(x)$ representa, neste caso, o calor retirado do chip. Como podemos observar da função, o módulo do calor retirado será maior nas extremidades do que no centro do chip. Logo, é de se esperar que as menores temperaturas ocorram nos extremos. Além disso, θ mesmo simboliza retirada de calor concentrada no centro do chip, enquanto $theta$ grande indica uma retirada de calor mais uniforme ao longo da barra.

Aqui, para não poluir o relatório com muitos gráficos, vamos utilizar 63 como o número de nós para o método de elementos finitos, uma vez que é o resultado que nos dará mais precisão.

Além disso, usaremos $L = 0.5$.

```
In [24]:
#theta = 0.1
nos_chip = 63
nos_integral = 10
L = 0.5
a = 0
b = 0
theta = 0.1
k = lambda x: 3.6
q = lambda x: 0
f = lambda x: -10*(math.exp(-(x/theta)**2)+math.exp(-(x-L)**2 / theta**2))
plotaSolucao(nos_chip,nos_integral,k,q,f,a,b,L)
```



```
In [25]:
#theta = 1
nos_chip = 63
nos_integral = 10
L = 0.5
a = 0
b = 0
theta = 1
k = lambda x: 3.6
q = lambda x: 0
f = lambda x: -10*(math.exp(-(x/theta)**2)+math.exp(-(x-L)**2 / theta**2))
plotaSolucao(nos_chip,nos_integral,k,q,f,a,b,L)
```



```
In [26]:
#theta = 10
nos_chip = 63
nos_integral = 10
L = 0.5
a = 0
b = 0
theta = 10
k = lambda x: 3.6
q = lambda x: 0
f = lambda x: -10*(math.exp(-(x/theta)**2)+math.exp(-(x-L)**2 / theta**2))
plotaSolucao(nos_chip,nos_integral,k,q,f,a,b,L)
```



Resultados

Assim como previsto, aumentar o θ fez com que a variação de temperatura fosse suavizada.

Condições não homogêneas

Podemos, também, alterar os outros parâmetros. Vamos modificar a taxa de calor retirado e as condições de fronteira.

```
In [27]:
nos_chip = 63
nos_integral = 10
L = 1.5
a = -1
b = -3
theta = 0.1
sigma = 0.1
k = lambda x: 3.6
q = lambda x: 0
f = lambda x: -10
plotaSolucao(nos_chip,nos_integral,k,q,f,a,b,L)
```



Resultados

Desta vez, a taxa de calor retirada é constante e igual à -10 . A curva tem um formato tal que $u(0) = 0$ e $u(1.5) = -3$. Podemos perceber que embora a taxa de retirada de calor seja constante e as condições de fronteira não homogêneas, a menor temperatura foi obtida em $x \approx 0.8$, o que pode parecer contra-intuitivo em um primeiro momento, por isso o método do elementos finitos pode ser tão proveitoso.

Fornecimento e retirada de calor

Por fim, vamos testar o algoritmo combinando as situações anteriores.

```
In [28]:
nos_chip = 63
nos_integral = 10
L = 0.7
a = -1
b = -3
theta = 0.1
sigma = 0.1
k = lambda x: 3.6
q = lambda x: 0
f = lambda x: -200*(math.exp(-(x/theta)**2)+math.exp(-(x-L)**2 / theta**2)) + 200*math.exp(-(x-L/2)**2)/sigma**2
plotaSolucao(nos_chip,nos_integral,k,q,f,a,b,L)
```


Resultados

Finalmente, ao combinarmos o aquecimento no meio do chip com o resfriamento nas bordas, chegamos no gráfico acima. Como podemos ver, a temperatura atinge o máximo no centro, e o mínimo próximo às bordas, o que vai de acordo com as conclusões anteriores. Além disso, o gráfico mostra que a função respeita os valores nas fronteiras, mesmo que o tamanho do chip não seja unitário e a fronteira não seja homogênea.

4.4 Equilíbrio com variação de material

Neste exercício, foi preciso simular o que aconteceria caso o chip fosse formado por diferentes materiais. Nesta seção, usaremos o valores de condutividade térmica do silício: $148W/m.K$, do cobre: $401W/m.K$, do selênio: $2.04W/m.K$ e do aerogel $0.013W/m.K$. Os três primeiros são bastante usados na indústria elétrica e o último é um dos materiais com menores condutividade térmica e será usado apenas por curiosidade.

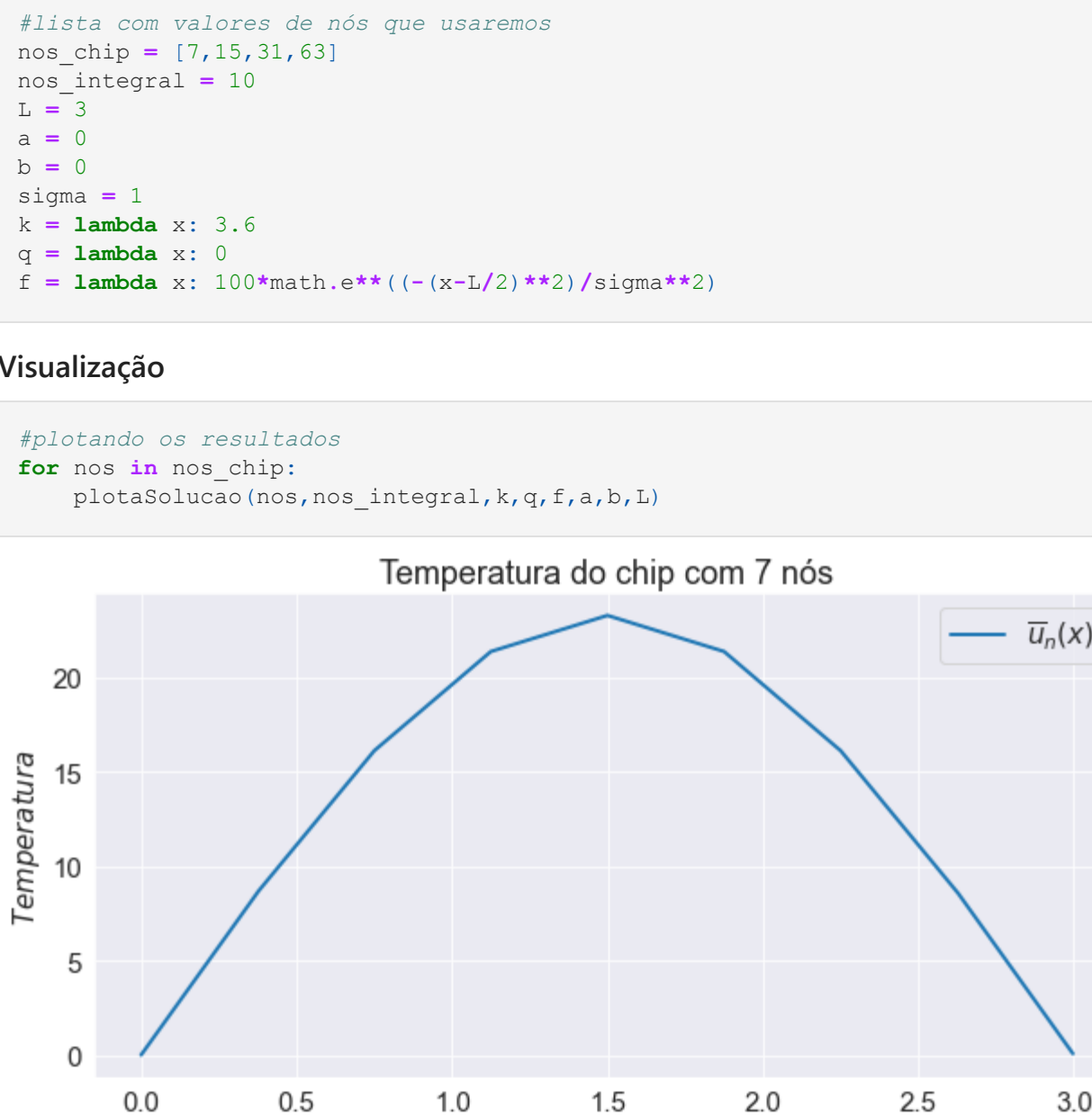
Fontes: Silício: <https://pt.wikipedia.org/wiki/Sil%C3%ADcio>, Selênio: <https://pt.wikipedia.org/wiki/Sel%C3%AAnio>, Cobre: <https://pt.wikipedia.org/wiki/Cobre#%3A%20O%20cobre%20%C3%A9%20um%20elemento%20de%20estado%20s%C3%B3lido>

Aerogel: <https://www.thermal-engineering.org/pt-br/o-que-e-aerogel-definecao/#%3A%20Condutividade%20%C3%A9%20de%20aerogel&text=Os%20valores%20%C3%ADpicos%20de%20condutividade%20de%20aerogel>

Silício e cobre

```
In [29]:
nos_chip = 63
nos_integral = 10
L = 1
a = 0
b = 0
d = 0.3
k = lambda x: 148 if ((L/2-d)<=x and x<=(L/2+d)) else 401
q = lambda x: 0
f = lambda x: 1000
```

```
In [30]:
plotaSolucao(nos_chip,nos_integral,k,q,f,a,b,L)
```



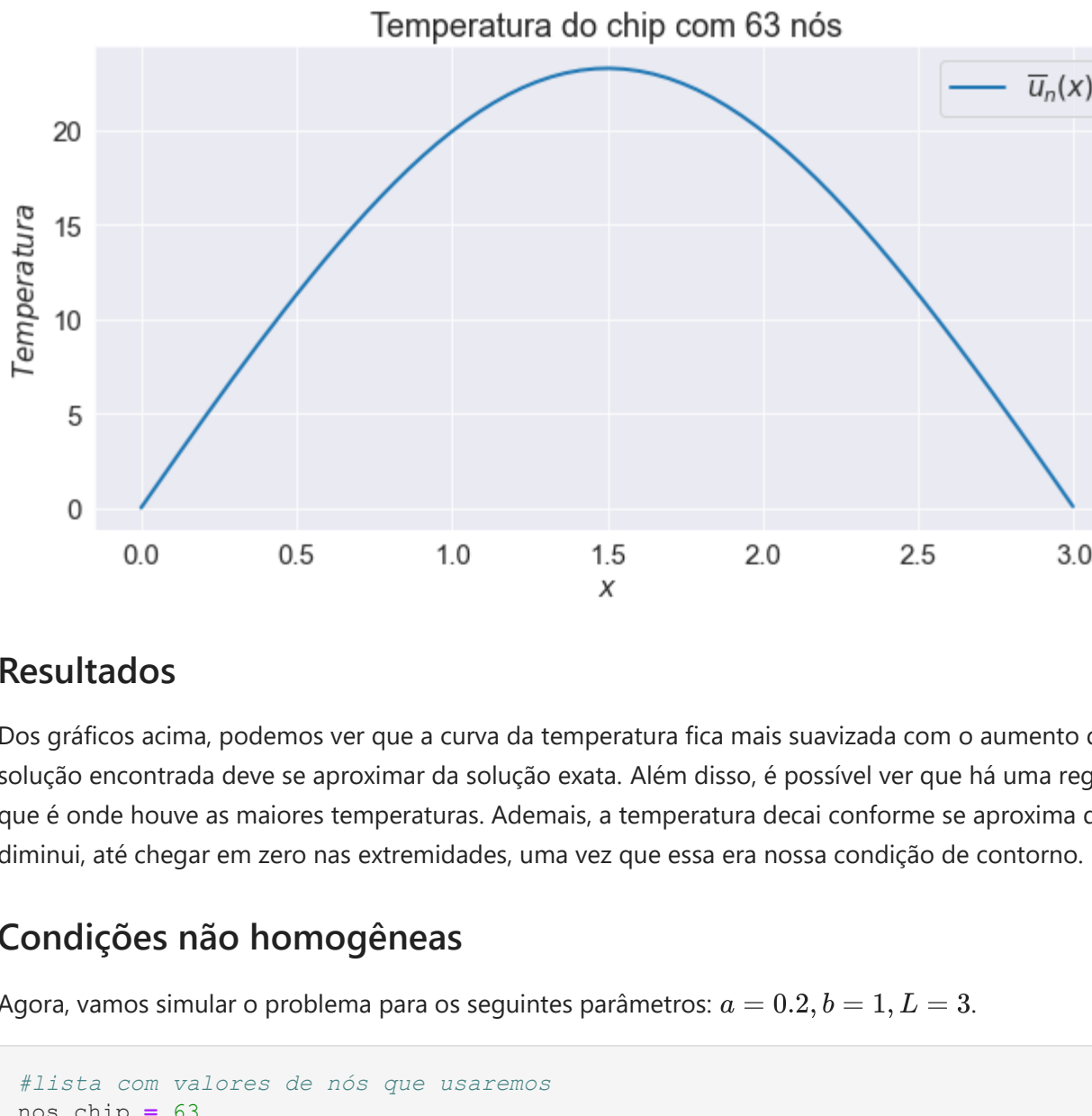
Resultados

Podemos ver o efeito de ter um material com maior condutividade térmica junto a outra com menor. O Cobre tem maior k e por isso conduz mais calor, como podemos ver no centro do gráfico. Já o silício conduz menos calor e por isso é possível ver uma grande diminuição na temperatura do chip para o extremos.

Selênio e aerogel

```
In [31]:
nos_chip = 63
nos_integral = 10
L = 2
a = 0
b = 0
d = 0.7
k = lambda x: 2.04 if ((L/2-d)<=x and x<=(L/2+d)) else 0.013
q = lambda x: 0
f = lambda x: 1000
```

```
In [32]:
plotaSolucao(nos_chip,nos_integral,k,q,f,a,b,L)
```



Resultados

O Selênio tem maior k e por isso conduz mais calor, como podemos ver nas extremidades do gráfico. Já o aerogel conduz menos calor e por isso é possível ver que pouco calor foi trocado no centro do chip, deixando a temperatura próxima de constante.

5 Conclusão

Neste exercício programamos, nós pudemos aplicar o Método dos Elementos Finitos para calcular resolver uma equação diferencial e calcular a temperatura de um chip em diversas condições. Para isso, nós usamos resultados obtidos anteriormente para resolver Sistemas Tridiagonais e aproximar Integrais pelo Método de Gauss.

Os três exercícios de programação foram excelentes formas de aplicar os conceitos desenvolvidos ao longo do semestre, na Matéria de Cálculo Numérico.